

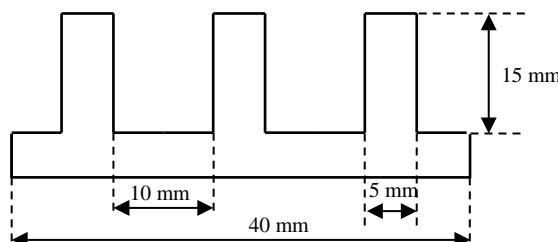
Papereihin

- sukunimi ja etunimet
- opiskelijanumero
- koulutusohjelma.

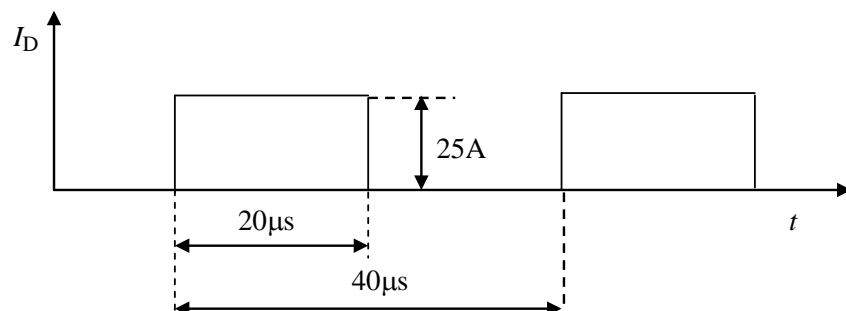
Tentissä sallitut apuvälaineet

- kynät, kumit jne.
- taskulaskin
- lukion kaavakokoelma tms. + Laplace taulut

1. Selvitä lyhyesti (max. 2...4 lausetta + mahdollinen kuva), mitä seuraavilla termeillä tarkoitetaan
  - ioni-istutus
  - takavirran varaus
  - SOA
  - prospektiivinen oikosulkuvirta
  - ESR.
2. Esittele IGBT:n rakenne, toimintaperiaate ja ominaisuudet.
3. Esittele kiihdytetty superpositiomenetelmä. Mitä muita menetelmiä on komponentin lämpenemän laskuun yleisessä tapauksessa? Mitkä ovat niiden edut ja haitat?
4. Eräään laitteen hakkuriteholähteen tehopuolijohteiden jäähdyttämiseksi luonnollisella tuuletuksesta on aiottu muotoilla laitteen 60 mm korkea takaseinä oheisen kuvan poikkileikkauksen mukaiseksi rivoitukseksi (vain yhden komponentin osuus esitetty). Kuinka suuri saa komponentin häviöteho korkeintaan olla, kun takaseinän sisäpinnan lämpötila ei saa ylittää  $80^{\circ}\text{C}$  lämpötilaa ulkolämpötilan ollessa  $50^{\circ}\text{C}$ ? Käytä kaavaa  $R_{\text{th}} = 11,7 A^{-0,7} P_{\text{H}}^{-0,15}$  jossa  $R_{\text{th}}$  on lämpövästus, yksikkö  $\text{K/W}$ ,  $A$  on pinta-ala neliödesimetriessä ja  $P_{\text{H}}$  häviöteho watteina. Tehtävässä oletetaan, että laitteen sisällä ei ilma kierrä.



5. Määräää SCT2080KE SiC mosfetin vaatiman jäähdytyselementin lämpövästus, kun fetin virta on oheisen kuvan mukainen. Jäähdysilman lämpötila on  $45^{\circ}\text{C}$  ja  $V_{\text{GS}} = 18 \text{ V}$ . Fetin yli oleva jännite on päällekytkennän aikana 520 V ja katkaisun aikana 700 V.



$V_{DSS}$	1200V
$R_{DS(on)}$ (Typ.)	80mΩ
$I_D$	35A
$P_D$	179W

### ●Features

- 1) Low on-resistance
- 2) Fast switching speed
- 3) Fast reverse recovery
- 4) Easy to parallel
- 5) Simple to drive
- 6) Pb-free lead plating ; RoHS compliant

### ●Application

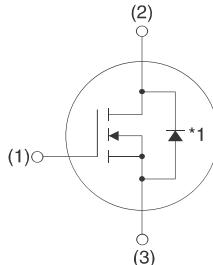
- Solar inverters
- DC/DC converters
- Induction heating
- Motor drives

### ●Outline

TO-247



### ●Inner circuit



(1) Gate  
(2) Drain  
(3) Source

\*1 Body Diode

### ●Packaging specifications

Type	Packing	Tube
	Reel size (mm)	-
	Tape width (mm)	-
	Basic ordering unit (pcs)	30
	Taping code	-
	Marking	SCT2080KE

### ●Absolute maximum ratings ( $T_a = 25^\circ\text{C}$ )

Parameter	Symbol	Value	Unit
Drain - Source voltage	$V_{DSS}$	1200	V
Continuous drain current $T_c = 25^\circ\text{C}$	$I_D$ *1	35	A
	$I_D$ *1 $T_c = 100^\circ\text{C}$	22	A
Pulsed drain current	$I_{D,pulse}$ *2	80	A
Gate - Source voltage	$V_{GSS}$	-6 to 22	V
Power dissipation ( $T_c = 25^\circ\text{C}$ )	$P_D$	179	W
Junction temperature	$T_j$	150	°C
Range of storage temperature	$T_{stg}$	-55 to +150	°C

### ● Thermal resistance

Parameter	Symbol	Values			Unit
		Min.	Typ.	Max.	
Thermal resistance, junction - case	R <sub>thJC</sub>	-	-	0.7	°C/W
Thermal resistance, junction - ambient	R <sub>thJA</sub>	-	-	50	°C/W
Soldering temperature, wavesoldering for 10s	T <sub>sold</sub>	-	-	265	°C

### ● Electrical characteristics (T<sub>a</sub> = 25°C)

Parameter	Symbol	Conditions	Values			Unit
			Min.	Typ.	Max.	
Drain - Source breakdown voltage	V <sub>(BR)DSS</sub>	V <sub>GS</sub> = 0V, I <sub>D</sub> = 1mA	1200	-	-	V
Zero gate voltage drain current	I <sub>DSS</sub>	V <sub>DS</sub> = 1200V, V <sub>GS</sub> = 0V T <sub>j</sub> = 25°C T <sub>j</sub> = 150°C	- -	1 2	10 -	μA
Gate - Source leakage current	I <sub>GSS+</sub>	V <sub>GS</sub> = +22V, V <sub>DS</sub> = 0V	-	-	100	nA
Gate - Source leakage current	I <sub>GSS-</sub>	V <sub>GS</sub> = -6V, V <sub>DS</sub> = 0V	-	-	-100	nA
Gate threshold voltage	V <sub>GS(th)</sub>	V <sub>DS</sub> = V <sub>GS</sub> , I <sub>D</sub> = 4.4mA	1.6	-	4.0	V
Static drain - source on - state resistance	R <sub>DS(on)</sub> <sup>*3</sup>	V <sub>GS</sub> = 18V, I <sub>D</sub> = 10A T <sub>j</sub> = 25°C T <sub>j</sub> = 125°C	- -	80 125	117 -	mΩ
Gate input resistance	R <sub>G</sub>	f = 1MHz, open drain	-	6.3	-	Ω

●Electrical characteristics ( $T_a = 25^\circ\text{C}$ )

Parameter	Symbol	Conditions	Values			Unit
			Min.	Typ.	Max.	
Transconductance	$g_{fs}^{*3}$	$V_{DS} = 10\text{V}, I_D = 10\text{A}$	-	3.7	-	S
Input capacitance	$C_{iss}$	$V_{GS} = 0\text{V}$ $V_{DS} = 800\text{V}$ $f = 1\text{MHz}$	-	2080	-	pF
Output capacitance	$C_{oss}$		-	77	-	
Reverse transfer capacitance	$C_{rss}$		-	16	-	
Effective output capacitance, energy related	$C_{o(er)}$	$V_{GS} = 0\text{V}$ $V_{DS} = 0\text{V to } 500\text{V}$	-	116	-	pF
Turn - on delay time	$t_{d(on)}^{*3}$	$V_{DD} = 400\text{V}, V_{GS} = 18\text{V}$ $I_D = 10\text{A}$ $R_L = 40\Omega$ $R_G = 0\Omega$	-	35	-	ns
Rise time	$t_r^{*3}$		-	36	-	
Turn - off delay time	$t_{d(off)}^{*3}$		-	76	-	
Fall time	$t_f^{*3}$		-	22	-	

●Gate Charge characteristics ( $T_a = 25^\circ\text{C}$ )

Parameter	Symbol	Conditions	Values			Unit
			Min.	Typ.	Max.	
Total gate charge	$Q_g^{*3}$	$V_{DD} = 400\text{V}$	-	106	-	nC
Gate - Source charge	$Q_{gs}^{*3}$	$I_D = 10\text{A}$	-	27	-	
Gate - Drain charge	$Q_{gd}^{*3}$		-	31	-	
Gate plateau voltage	$V_{(plateau)}$	$V_{DD} = 400\text{V}, I_D = 10\text{A}$	-	9.7	-	V

\*1 Limited only by maximum temperature allowed.

\*2 PW ≤ 10μs, Duty cycle ≤ 1%

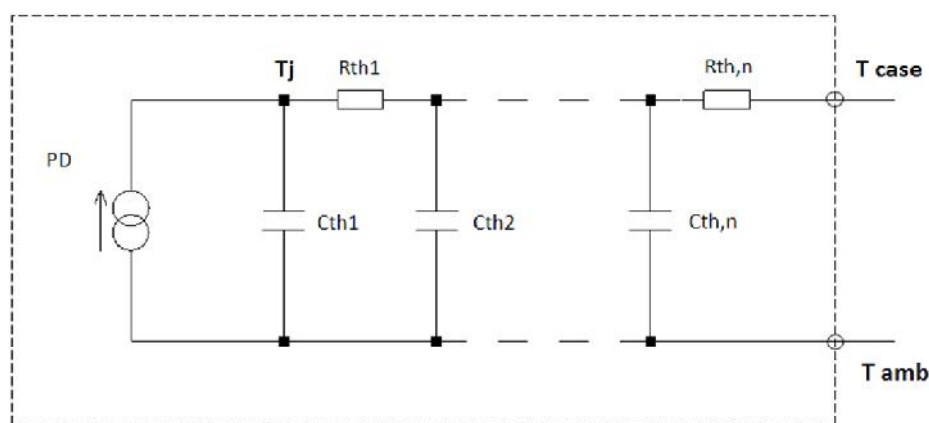
\*3 Pulsed

● Body diode electrical characteristics (Source-Drain) ( $T_a = 25^\circ\text{C}$ )

Parameter	Symbol	Conditions	Values			Unit
			Min.	Typ.	Max.	
Inverse diode continuous, forward current	$I_S^{*1}$	$T_c = 25^\circ\text{C}$	-	-	25	A
Inverse diode direct current, pulsed	$I_{SM}^{*2}$		-	-	80	A
Forward voltage	$V_{SD}^{*3}$	$V_{GS} = 0\text{V}, I_S = 10\text{A}$	-	4.6	-	V
Reverse recovery time	$t_{rr}^{*3}$	$I_F = 10\text{A}, V_R = 400\text{V}$ $\text{di/dt} = 150\text{A}/\mu\text{s}$	-	31	-	ns
Reverse recovery charge	$Q_{rr}^{*3}$		-	44	-	nC
Peak reverse recovery current	$I_{rrm}^{*3}$		-	2.3	-	A

● Typical Transient Thermal Characteristics

Symbol	Value	Unit	Symbol	Value	Unit
$R_{th1}$	0.098	K/W	$C_{th1}$	0.005	Ws/K
$R_{th2}$	0.237		$C_{th2}$	0.032	
$R_{th3}$	0.212		$C_{th3}$	0.666	



● Electrical characteristic curves

Fig.1 Power Dissipation Derating Curve

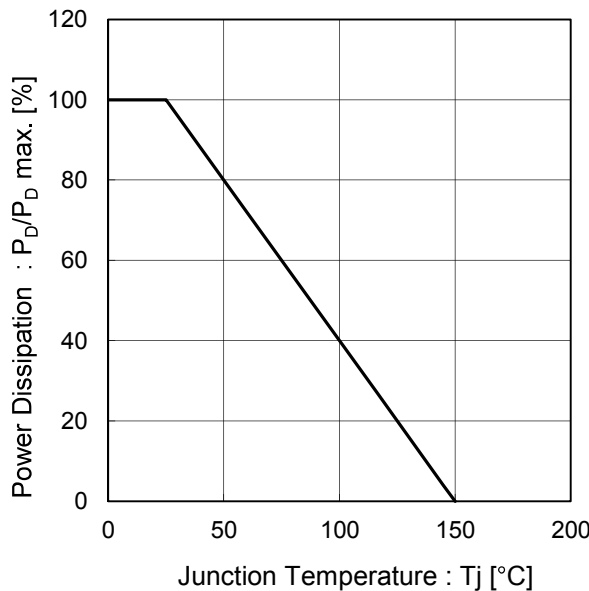


Fig.2 Maximum Safe Operating Area

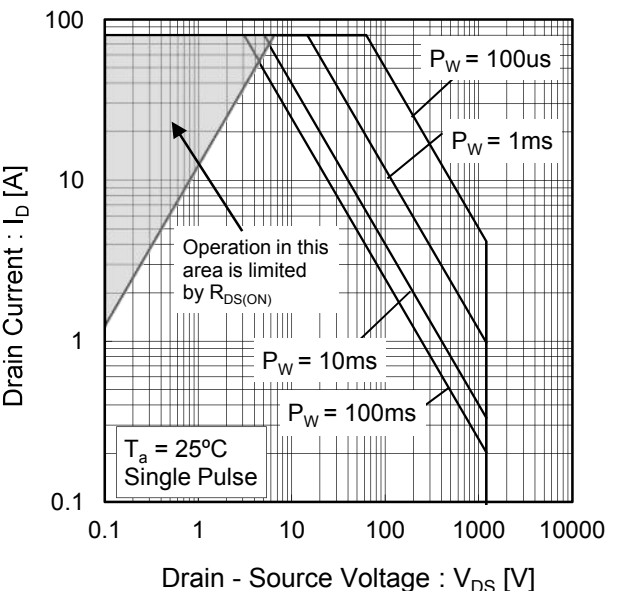
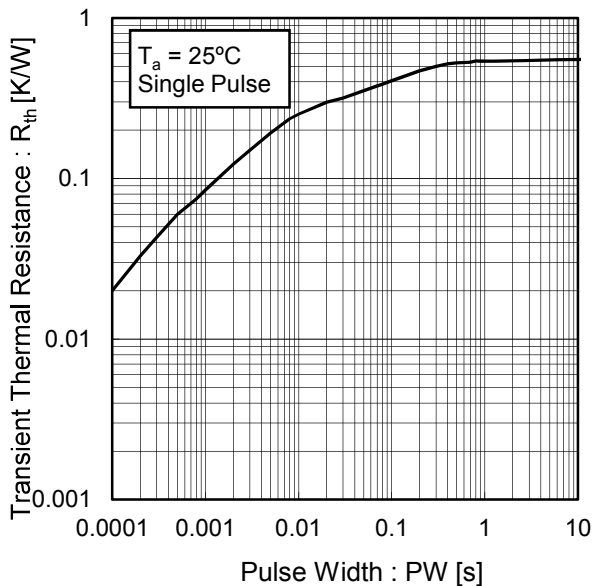


Fig.3 Typical Transient Thermal Resistance vs. Pulse Width



●Electrical characteristic curves

Fig.4 Typical Output Characteristics(I)

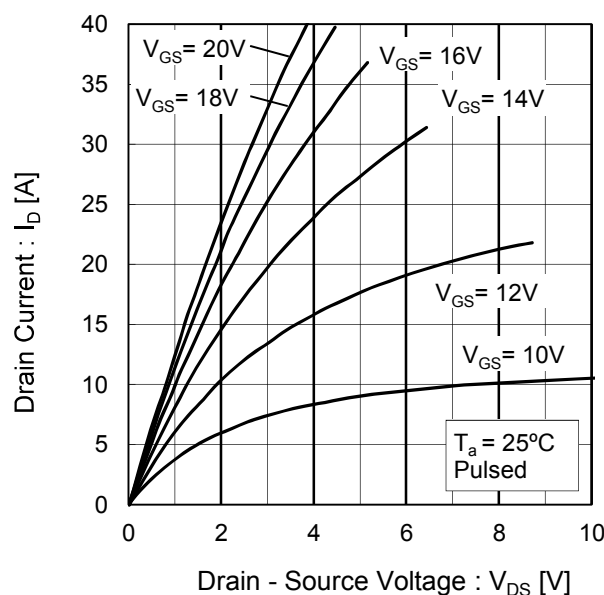


Fig.5 Typical Output Characteristics(II)

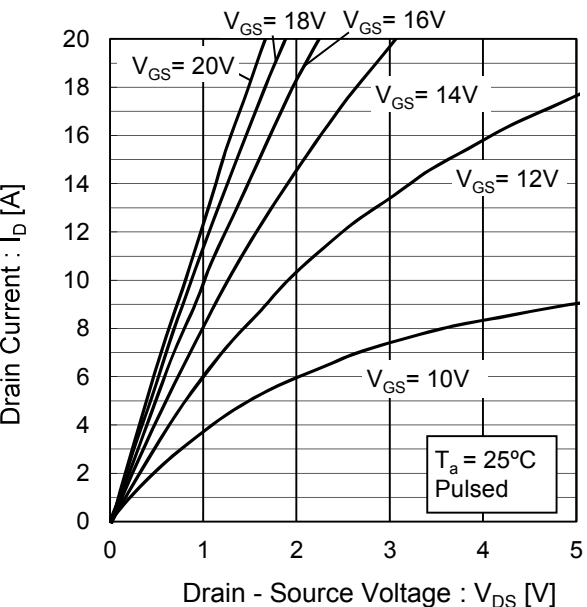


Fig.6 Typical Output Characteristics(I)

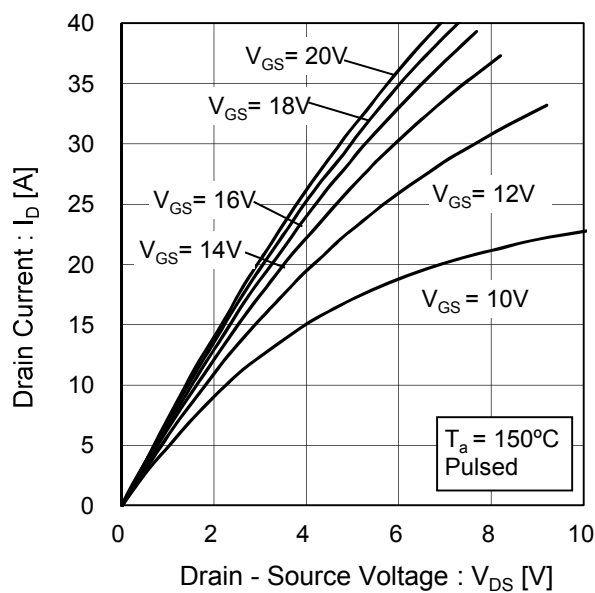
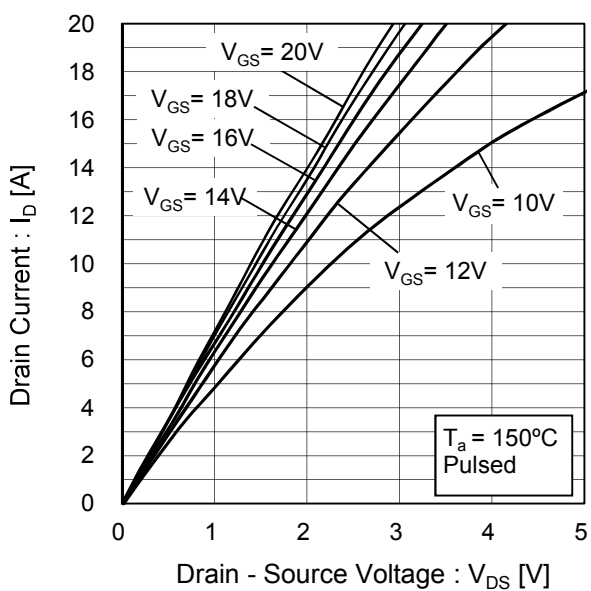


Fig.7 Typical Output Characteristics(II)



●Electrical characteristic curves

Fig.8 Typical Transfer Characteristics

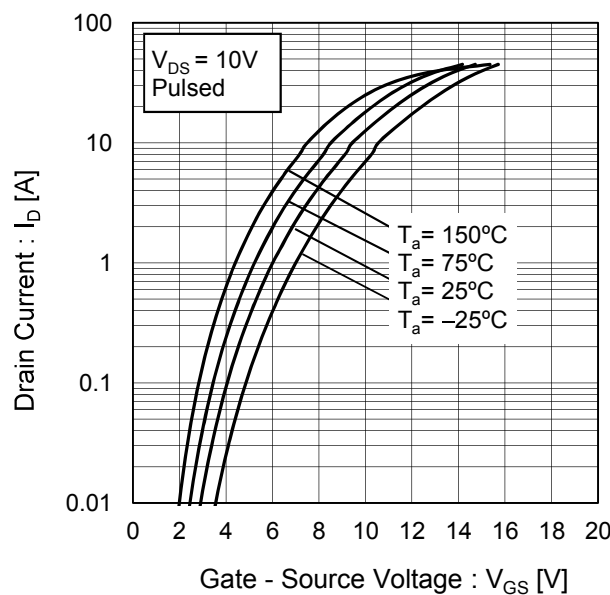


Fig.9 Gate Threshold Voltage vs. Junction Temperature

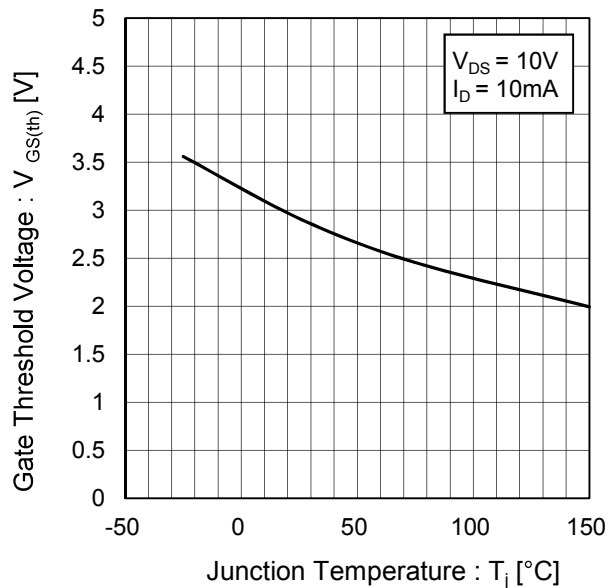
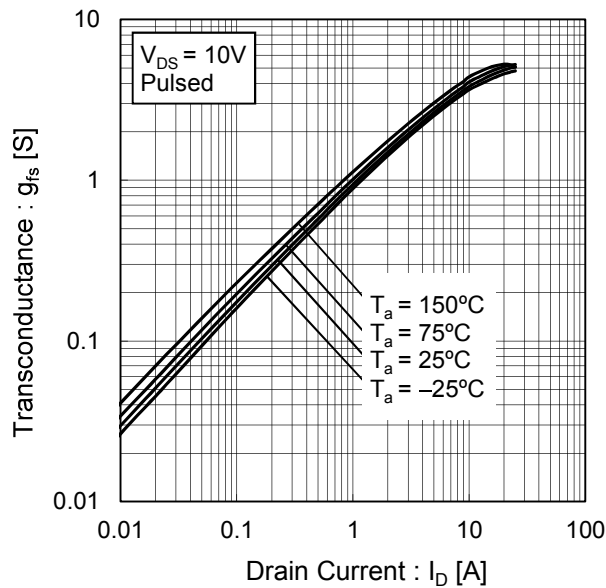


Fig.10 Transconductance vs. Drain Current



● Electrical characteristic curves

Fig.11 Static Drain - Source On - State  
Resistance vs. Gate - Source Voltage

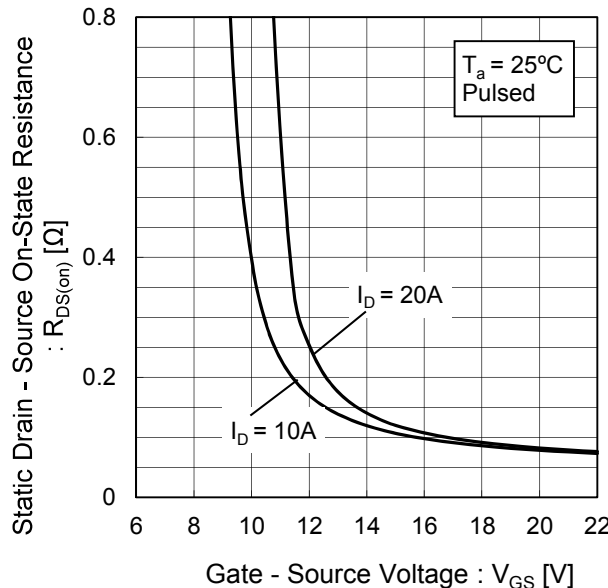


Fig.12 Static Drain - Source On - State  
Resistance vs. Junction Temperature

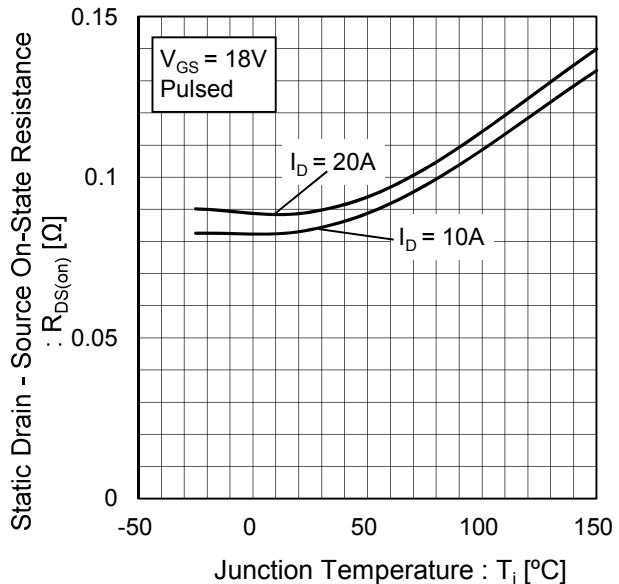
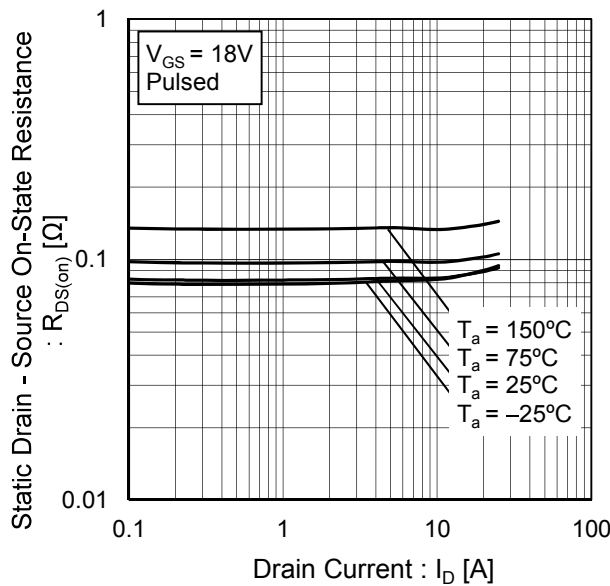


Fig.13 Static Drain - Source On - State  
Resistance vs. Drain Current



● Electrical characteristic curves

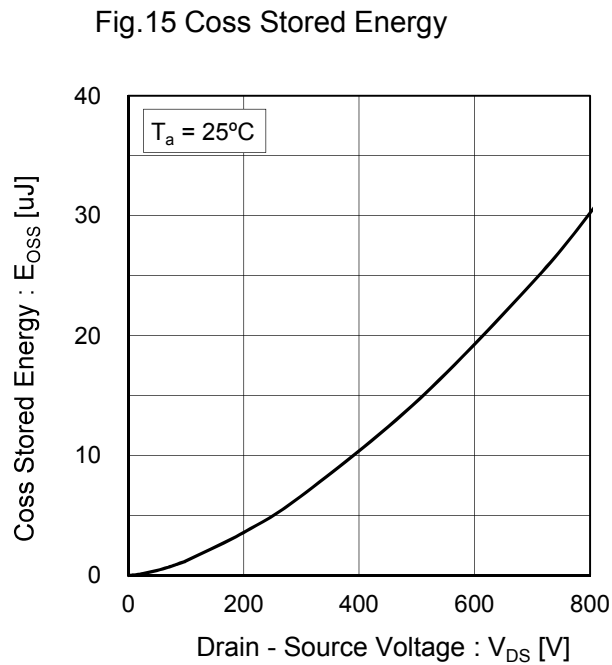
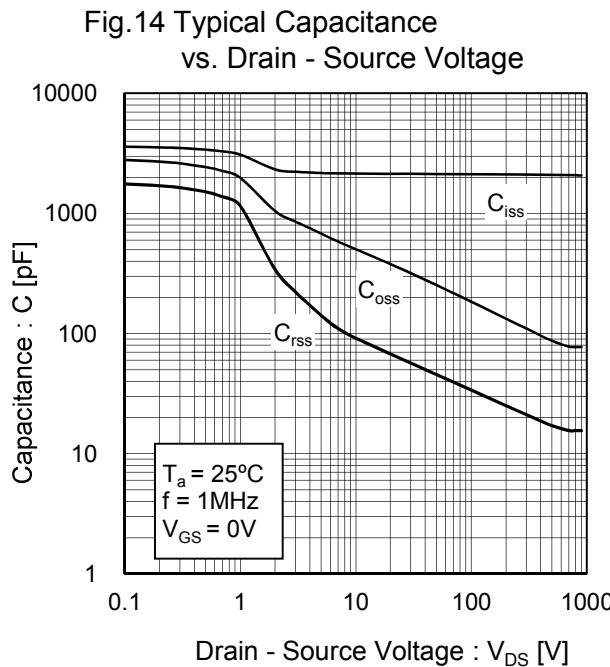


Fig.16 Switching Characteristics

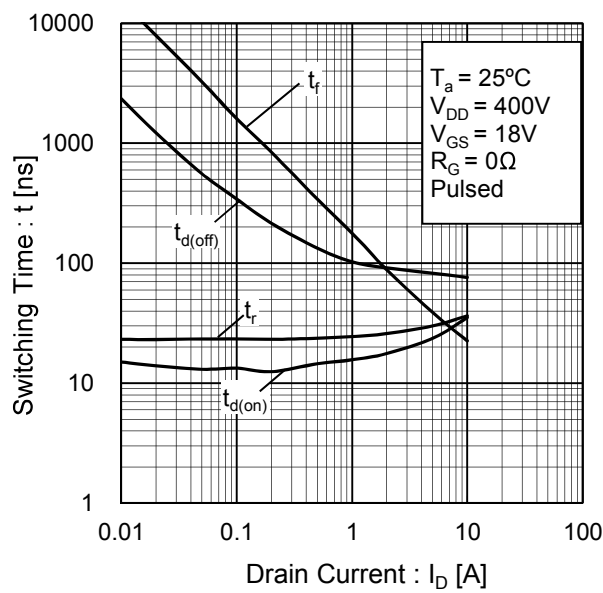
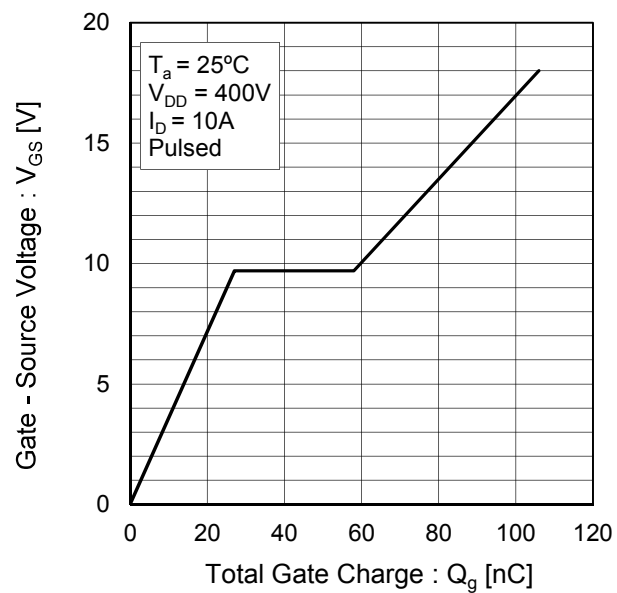


Fig.17 Dynamic Input Characteristics



●Electrical characteristic curves

Fig.18 Inverse Diode Forward Current vs. Source - Drain Voltage

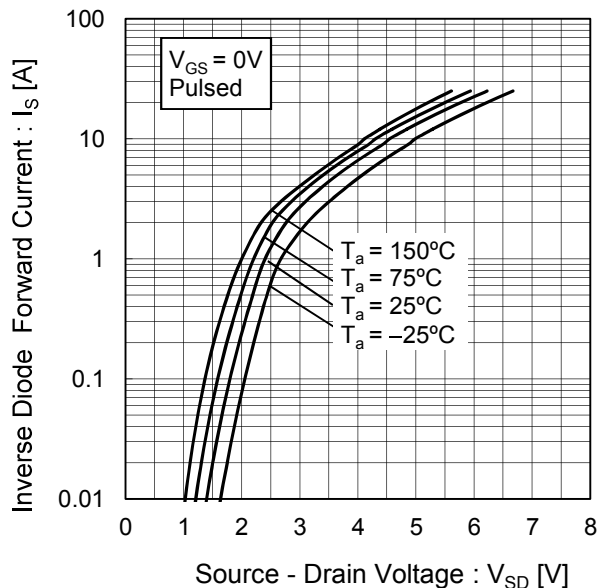
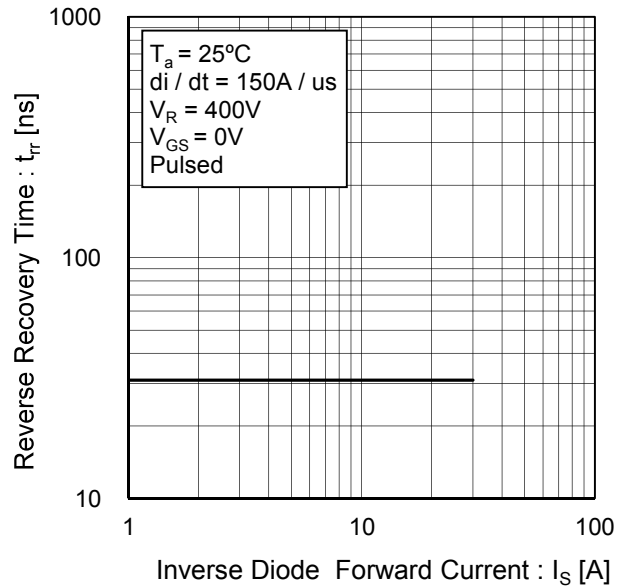


Fig.19 Reverse Recovery Time vs.Inverse Diode Forward Current



## ● Measurement circuits

Fig.1-1 Switching Time Measurement Circuit

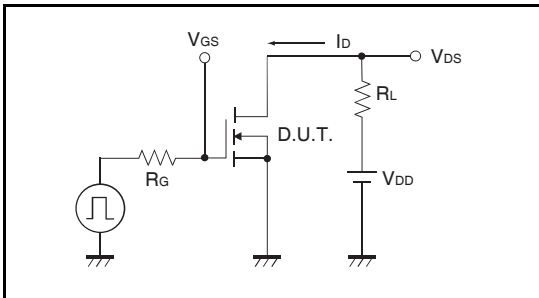


Fig.1-2 Switching Waveforms

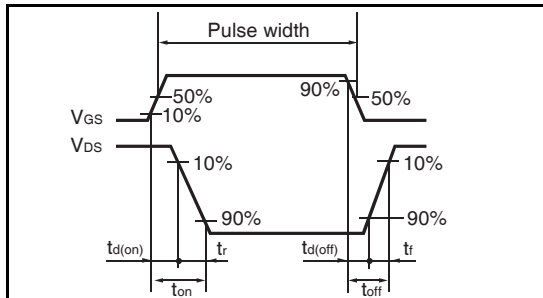


Fig.2-1 Gate Charge Measurement Circuit

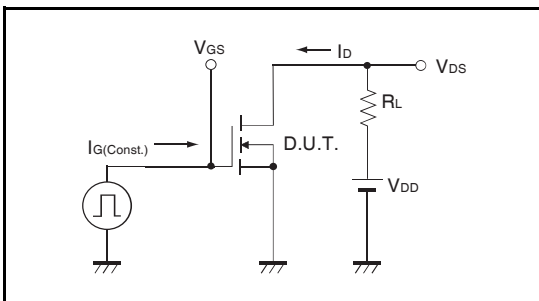


Fig.2-2 Gate Charge Waveform

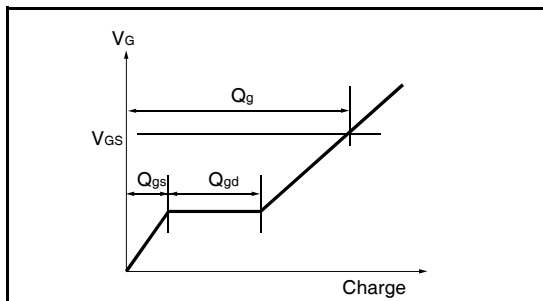


Fig.3-1 di/dt Measurement Circuit

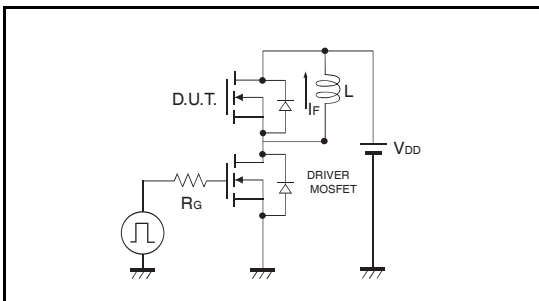
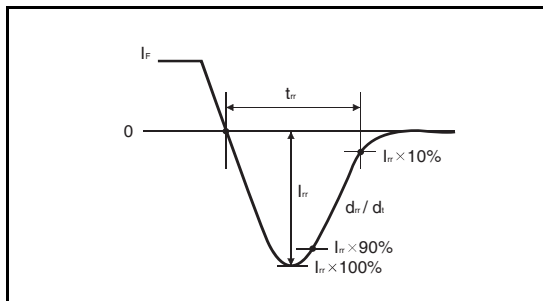


Fig.3-2 di/dt Waveform



**Tentti 8.3.2013 RATKAISUT**

**Tehtävät 1-3:** Katso kirja

**Tehtävä 4**

$$R_{\text{thSA}} = 11,7 A^{-0,7} P_{\text{H}}^{-0,15} = \frac{T_s - T_a}{P_{\text{H}}}$$

josta saadaan

$$P_{\text{H max}}^{0,85} = \frac{T_s - T_a}{11,7 A^{-0,7}}$$

ja edelleen

$$P_{\text{H max}} = \left( \frac{T_s - T_a}{11,7 A^{-0,7}} \right)^{\frac{1}{0,85}}$$

Kotelon sisällä oletettiin ilman kierron olevan mitättömän. Siten jäähdytyselementin voi olettaa jäähtyvän vain ulkopinnaltaan.

Ulkopinnan pinta-alaksi saadaan

$$A = (40 \text{ mm} + 6 \cdot 15 \text{ mm}) \cdot 60 \text{ mm} = 7800 \text{ mm}^2 = 0.78 \text{ dm}^2$$

jos elementin ala ja yläpintoja ei huomioida (niiden pinta-ala on  $6 \cdot 15 \text{ mm} \cdot 5 \text{ mm} = 450 \text{ mm}^2 = 0.045 \text{ dm}^2$  eli aika pieni. Lisäksi ilma ei niissä välittämättä liiku).

Sijoittamalla arvot kaavaan saadaan komponentin maksimihäviöksi

$$P_{\text{H max}} = \left( \frac{80^\circ\text{C} - 50^\circ\text{C}}{11,7 \cdot 0,78^{-0,7}} \right)^{\frac{1}{0,85}} = 2,47 \text{ W}$$

## Tehtävä 5

Kun  $V_{GS} = 18 \text{ V}$ ,  $T_J = 150 \text{ }^{\circ}\text{C}$  ja  $I_D = 25 \text{ A}$  saadaan kuvasta 13

$$R_{DS} \approx 0,15 \Omega$$

Siten johtohäviöenergia per pulssi on

$$E_{HON} = R_{DS} I_D^2 t_{ON} \approx 0,15 \Omega (25 \text{ A})^2 20 \mu\text{s} \approx 1,9 \text{ mJ}$$

Vaihtoehtoisesti voi kuvasta 6 lukea jännitehäviöksi 25 A virralla kun  $V_{GS} = 18 \text{ V}$  ja  $T_J = 150 \text{ }^{\circ}\text{C}$  noin 3.9 V, josta laskemalla päätyy suunnilleen samaan tulokseen.

Kytkentähäviöstä valmistaja ei anna tietoja. Kuvassa 15 on annettu fetin kapasitansseihin varautuva energia, joka kuvaa transistorin sisäisiä häviötä hyvin pienellä kuormavirralla. Nyt kuitenkin virtaa on 25 A.

Arvioidaan kytkentähäviöt yläkanttiin olettamalla virran muuttuvan nousu- ja laskuaikoina lineaarisesti ja jännitteen olevan tänä aikana vakio. Kuvasta 16 saadaan extrapoloimalla 25 A virralla nousuajaksi  $t_r$  noin 60 ns ja laskuajaksi  $t_f$  noin 11 ns.

Siten kytkentähäviöenergiat ovat

$$E_{H_{TON}} < \frac{t_r U_{SDTON} I_D}{2} = \frac{60 \text{ ns} \cdot 520 \text{ V} \cdot 25 \text{ A}}{2} \approx 0,39 \text{ mJ}$$

$$E_{H_{TOFF}} < \frac{t_f U_{SDTOFF} I_D}{2} = \frac{11 \text{ ns} \cdot 700 \text{ V} \cdot 25 \text{ A}}{2} \approx 0,10 \text{ mJ}$$

Koska taajuus on huomattavasti yli 1 kHz, voidaan mitoitus tehdä keskimääräisen häviötehon ja pysyvän tilan lämpövastuksen perusteella.

Keskimääräiseksi häviötehoksi saadaan

$$P_{H_{ave}} = \frac{E_{H_{ON}} + E_{H_{TON}} + E_{H_{TOFF}}}{T} = \frac{1,9 \text{ mJ} + 0,39 \text{ mJ} + 0,1 \text{ mJ}}{40 \mu\text{s}} \approx 60 \text{ W}$$

Siten jäähdytyselementin lämpövastukseksi fetin ja elementin välinen lämpövastus mukaan lukien saadaan

$$R_{thCA} \leq \frac{T_J - R_{thJC} P_{H_{ave}} - T_A}{P_{H_{ave}}} = \frac{150 \text{ }^{\circ}\text{C} - 0,7 \frac{{}^{\circ}\text{C}}{\text{W}} \cdot 60 \text{ W} - 45 \text{ }^{\circ}\text{C}}{60 \text{ W}} \approx 1,1 \frac{{}^{\circ}\text{C}}{\text{W}}$$